

FIG. 1

FIG. 2

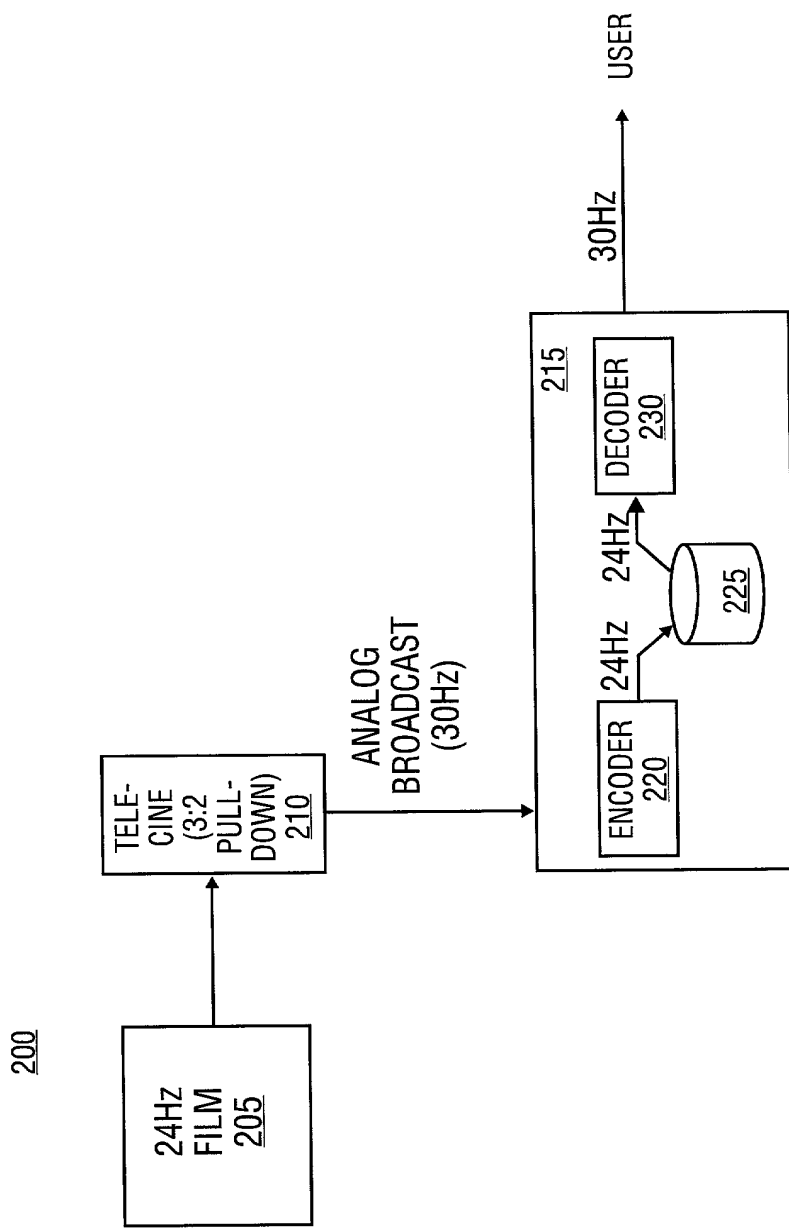
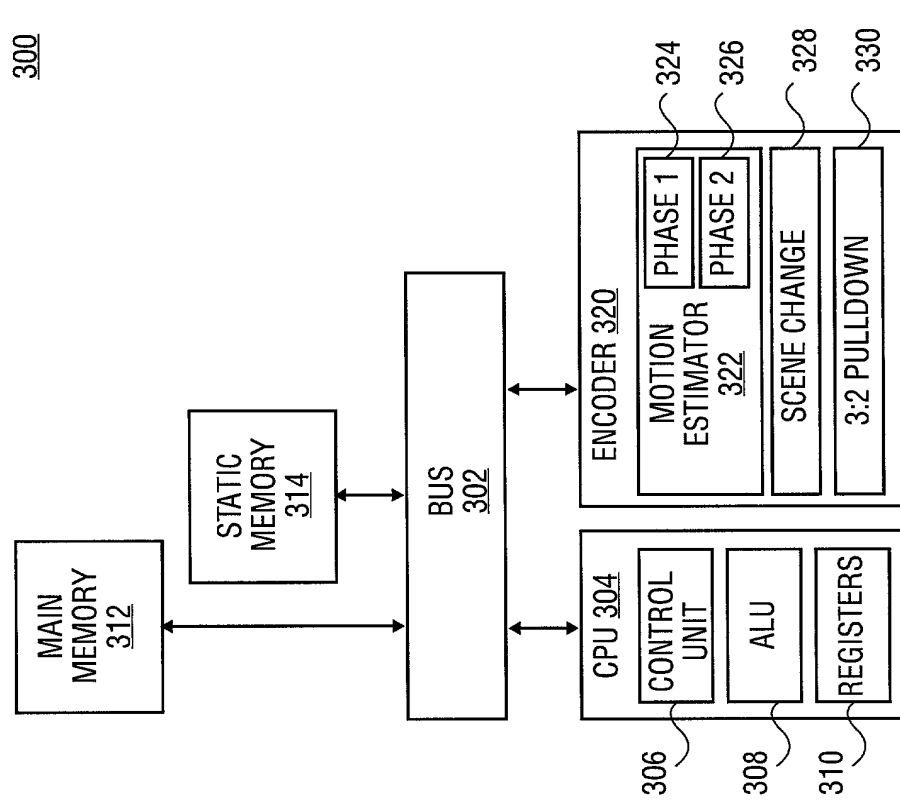


FIG. 3A



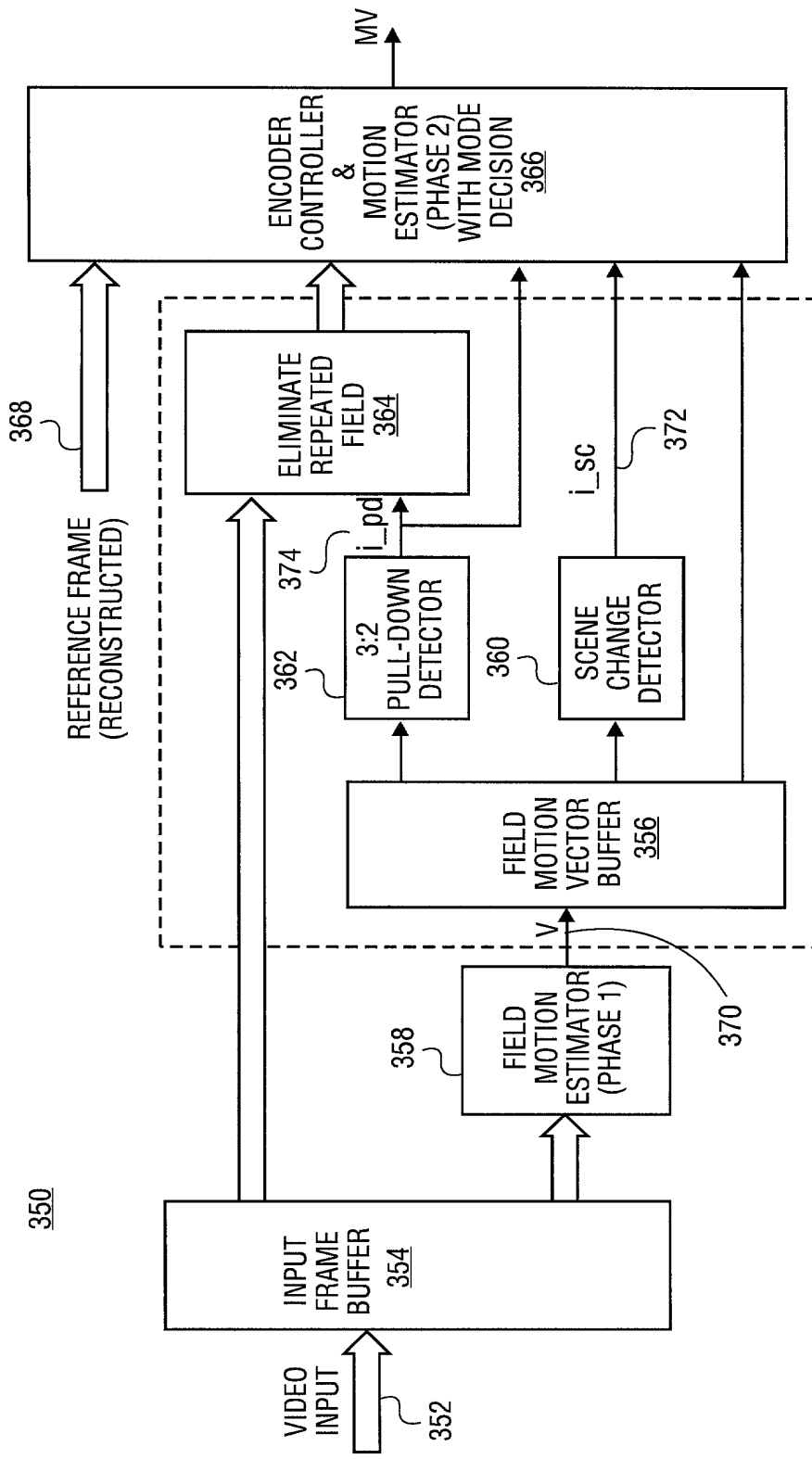


FIG. 3B

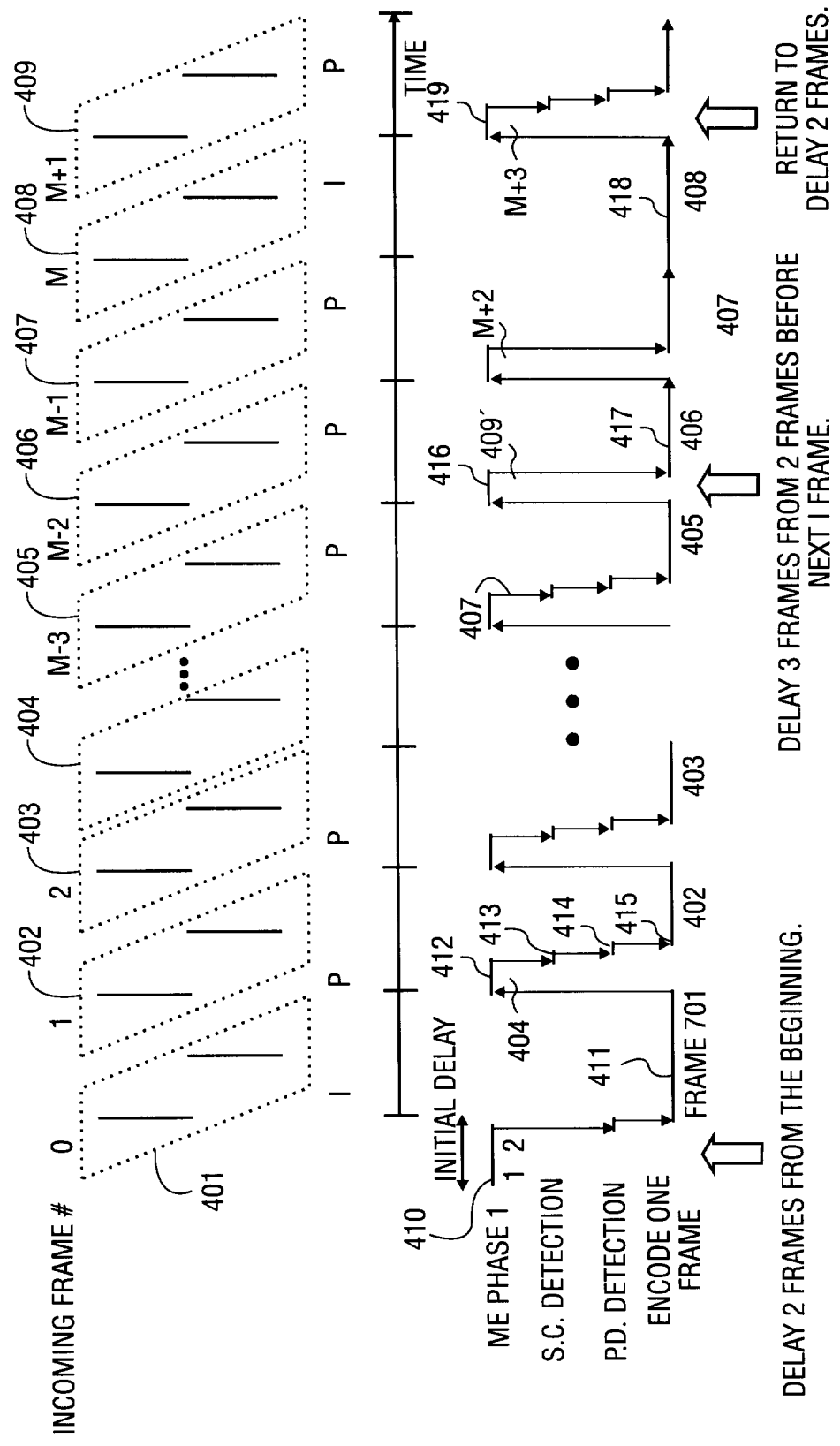


FIG. 4

open: even frame
solid: odd frame

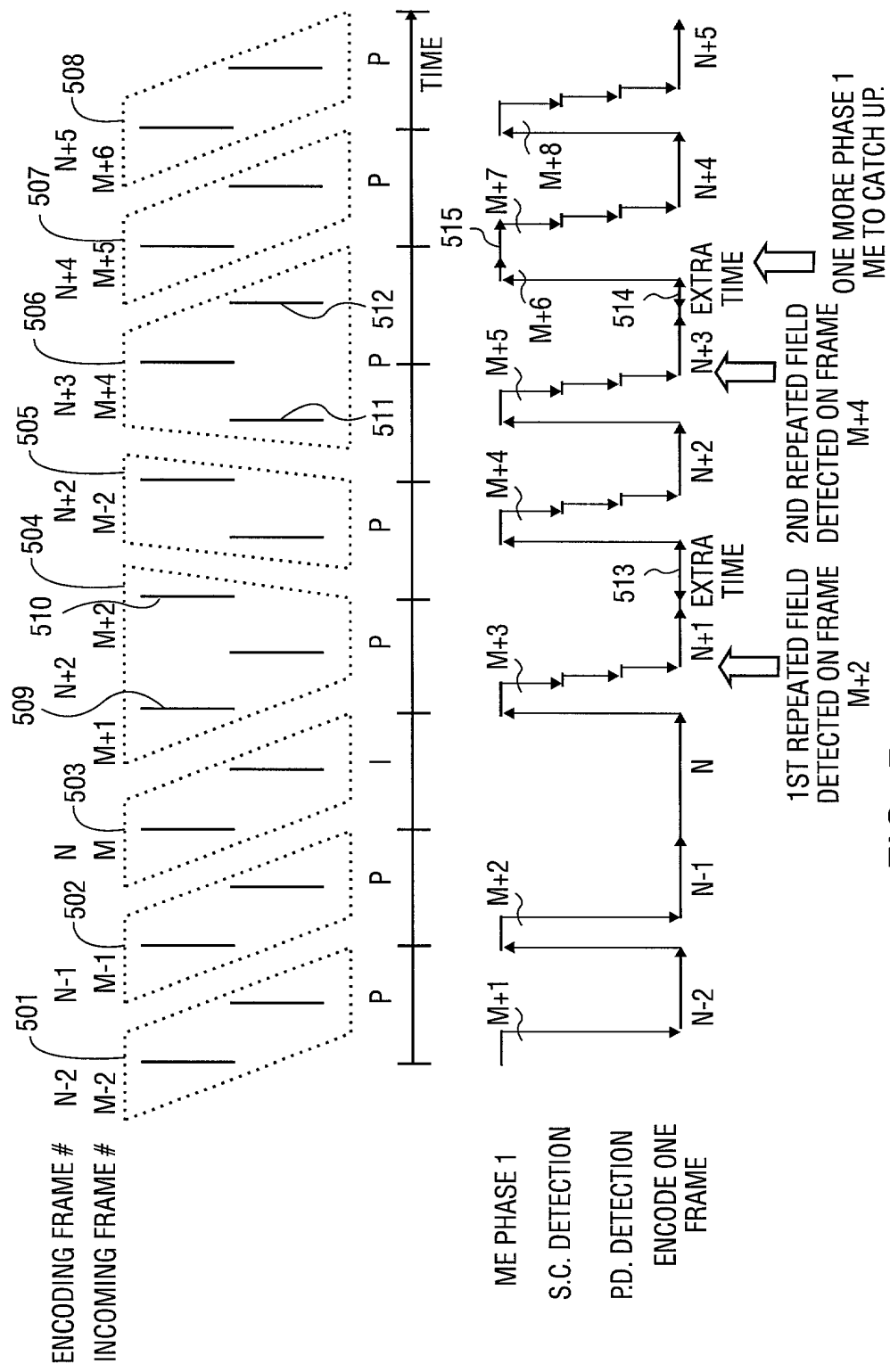


FIG. 5

ME PHASE 1
S.C. DETECTION
P.D. DETECTION
ENCODE ONE FRAME

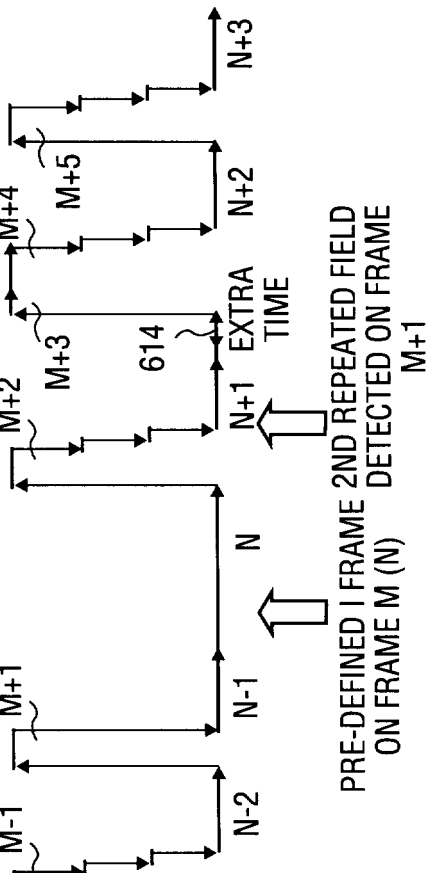
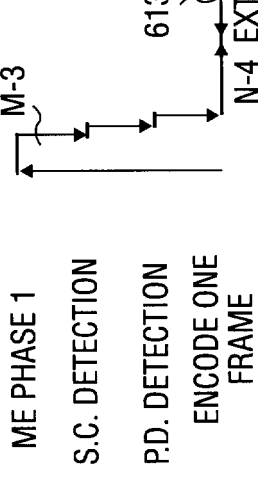


FIG. 6

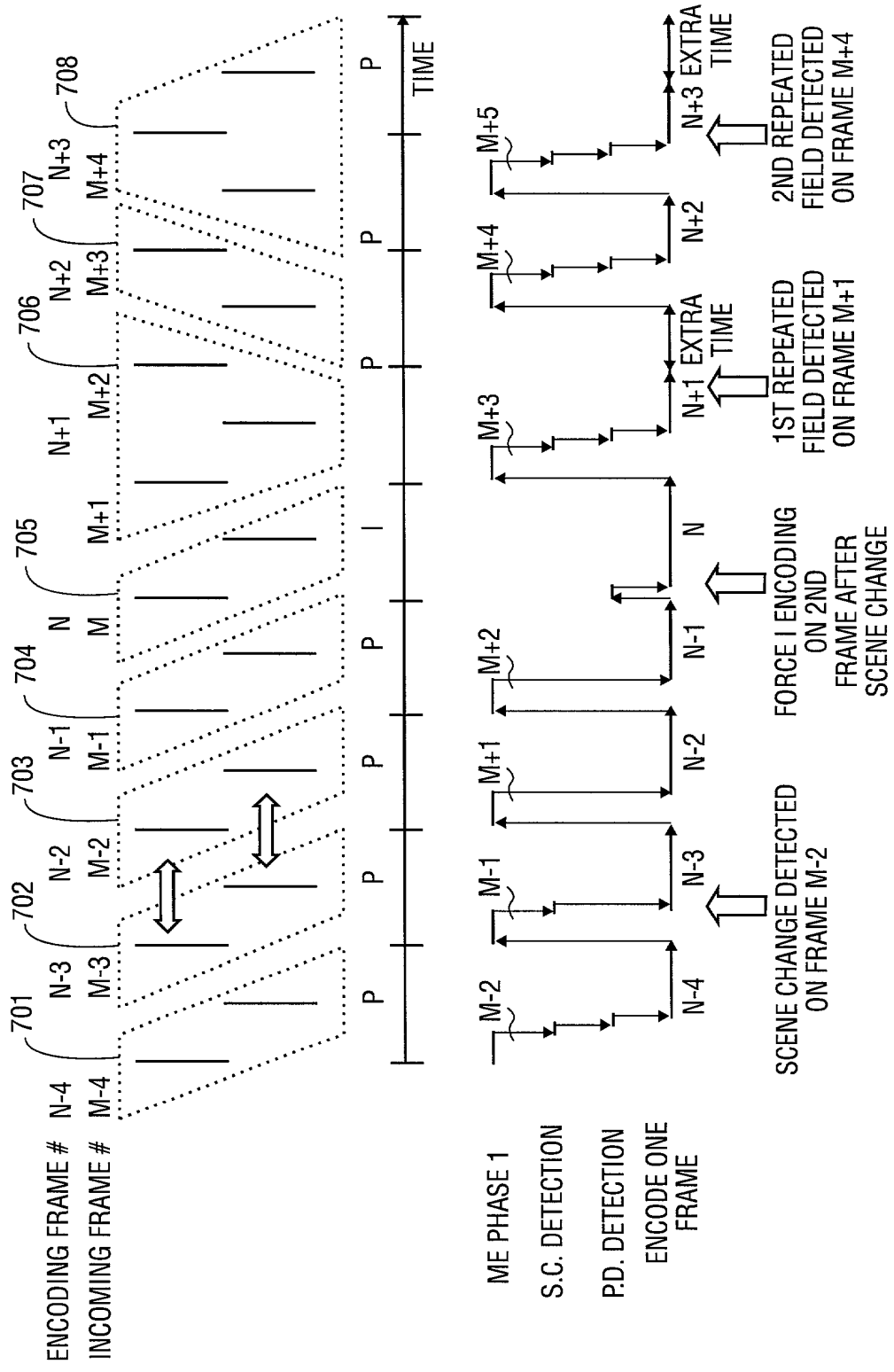
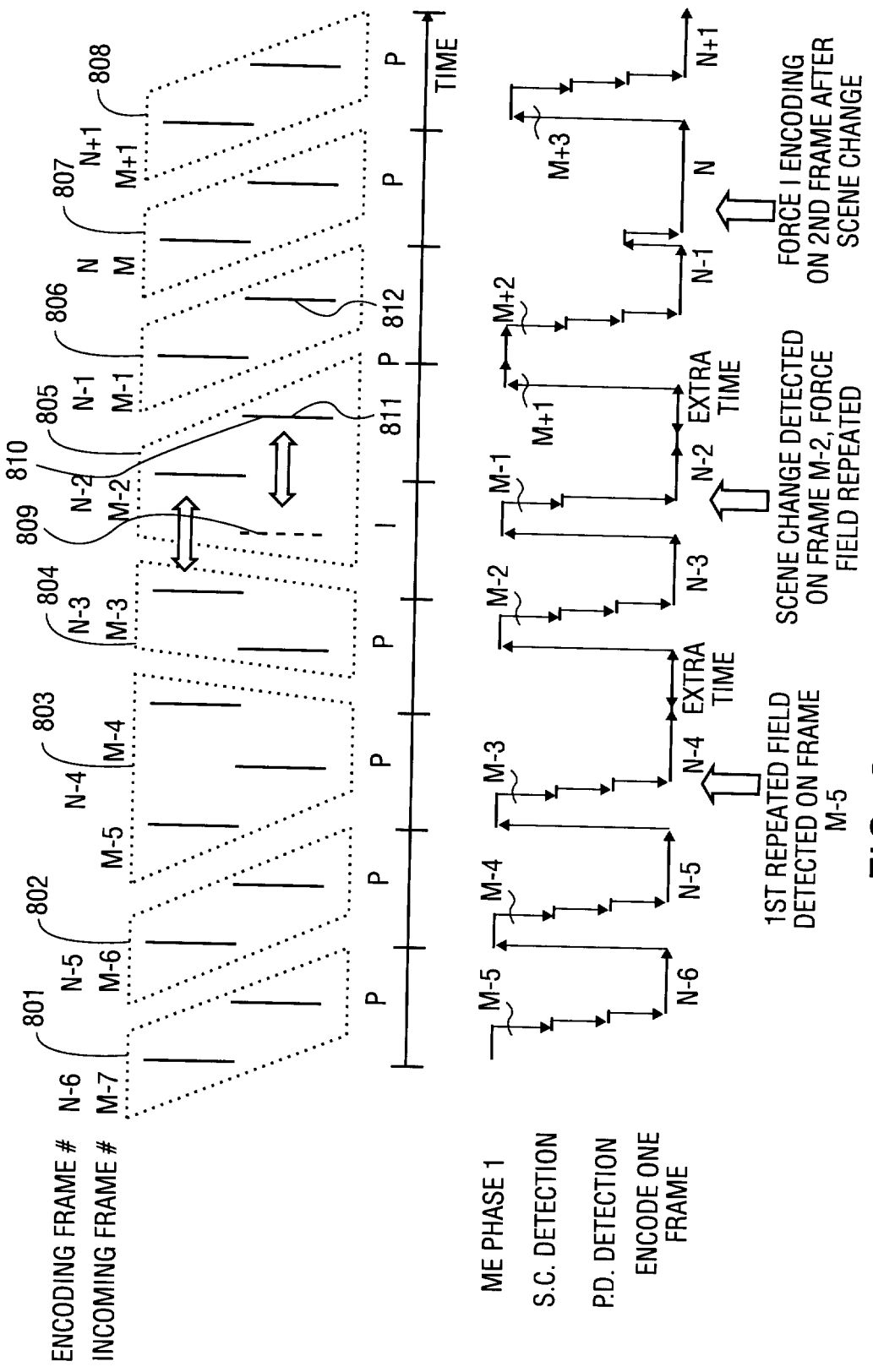
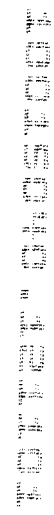
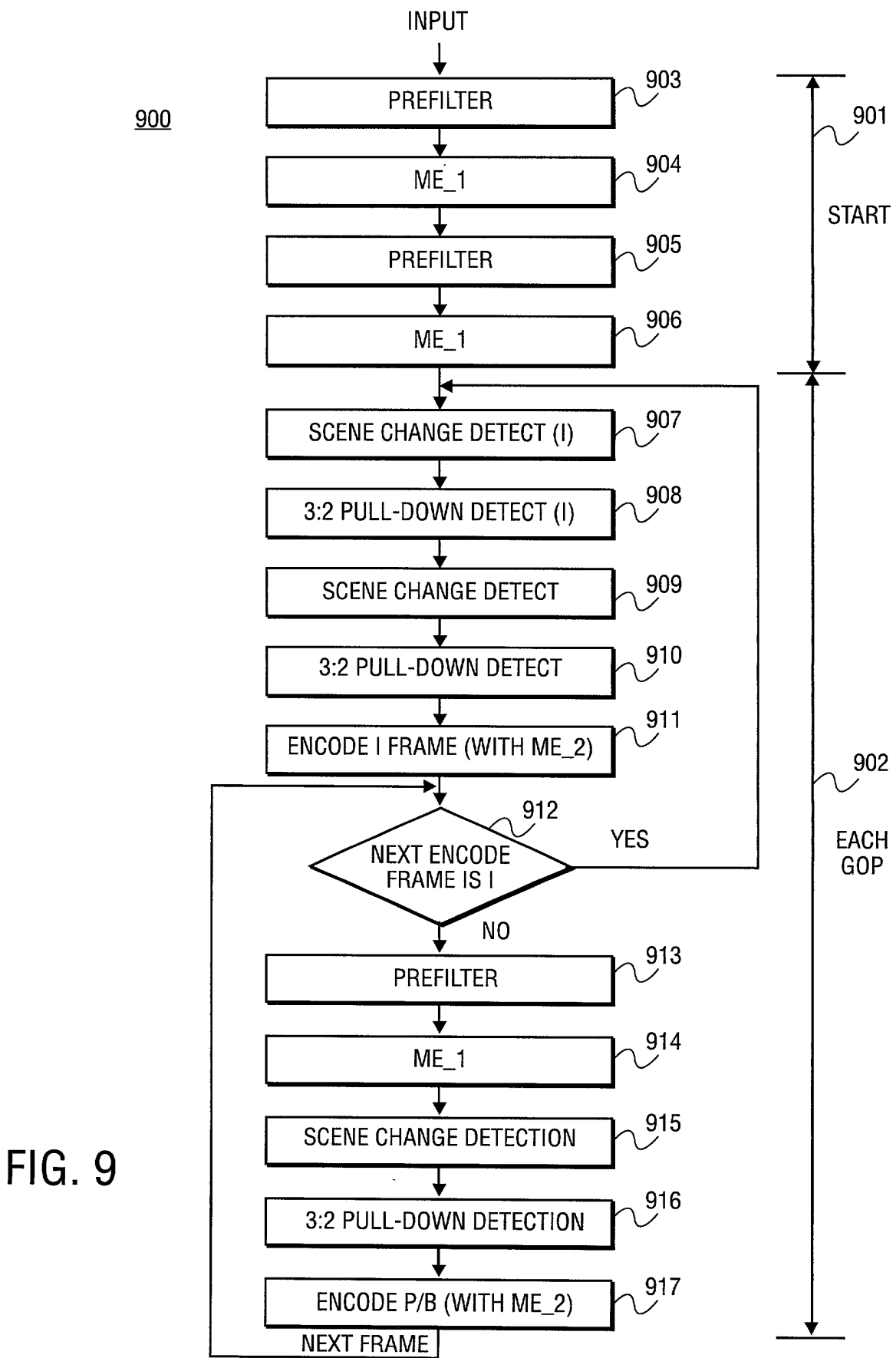


FIG. 7



8
FIG.



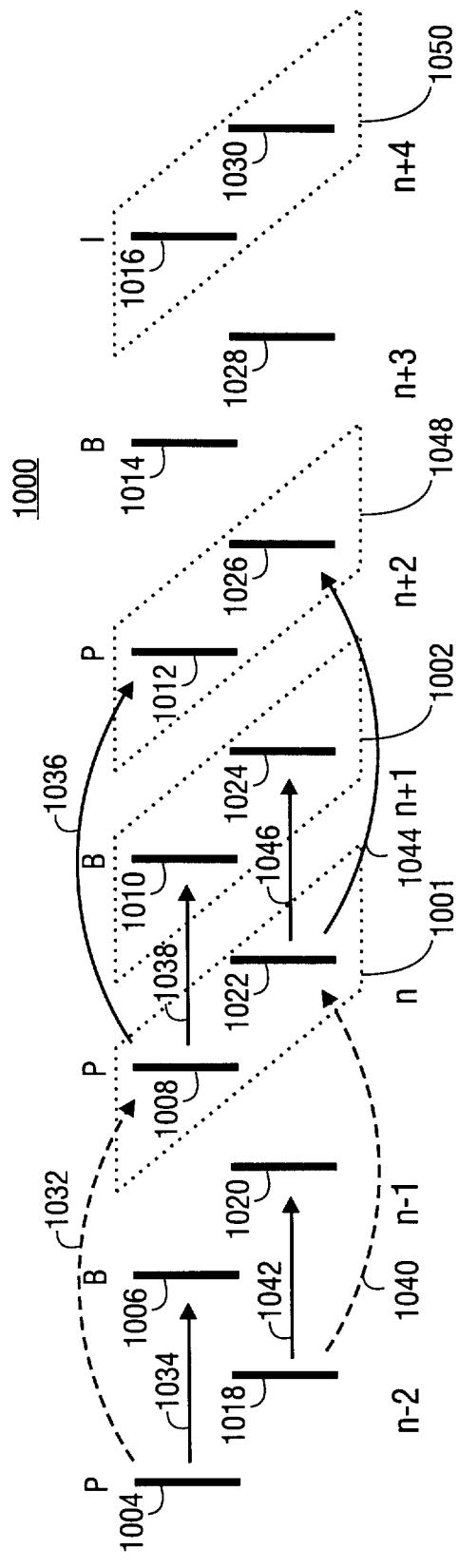


FIG. 10

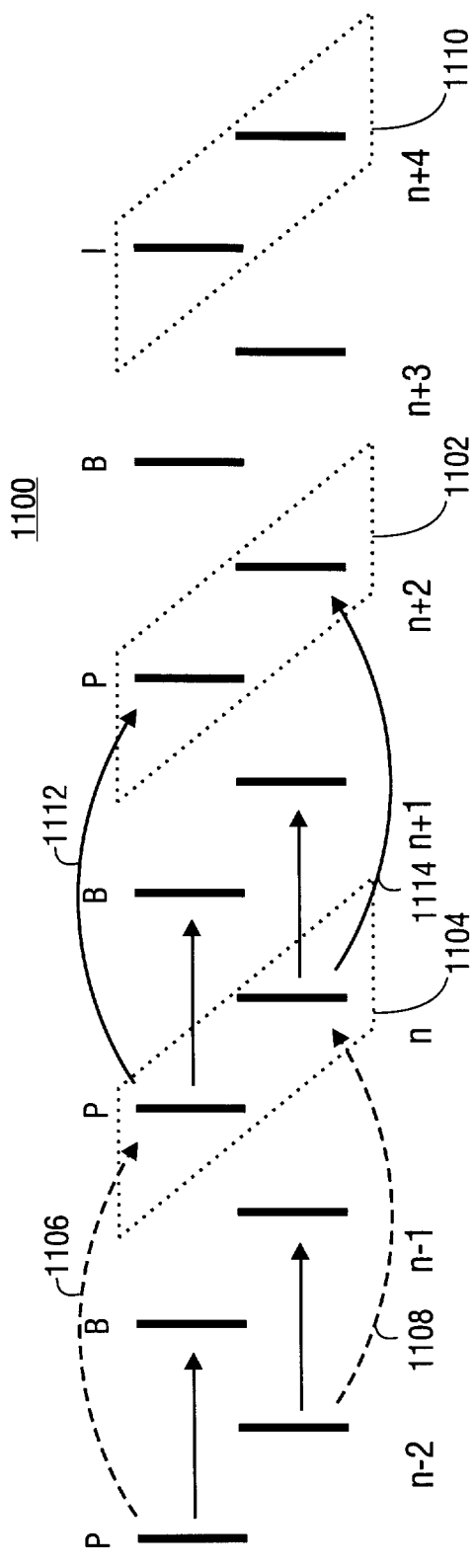


FIG. 11

1200
1202
1204
 $n+i$
 $n+i+1$
 $n+i+2$
 $n+i+3$
 $n+i+4$

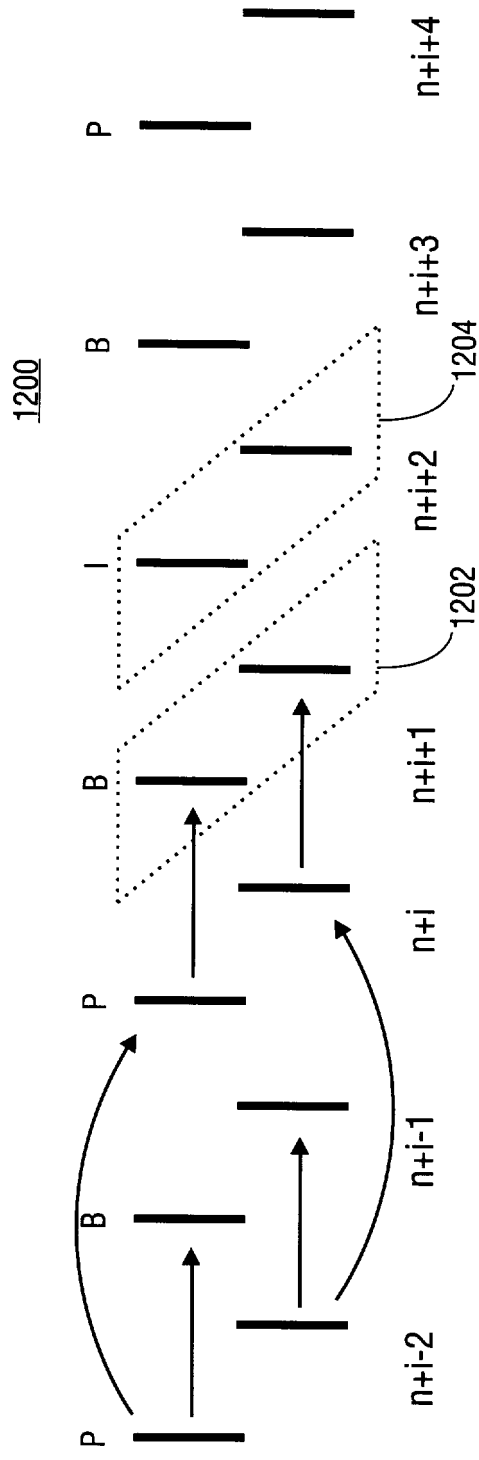


FIG. 12

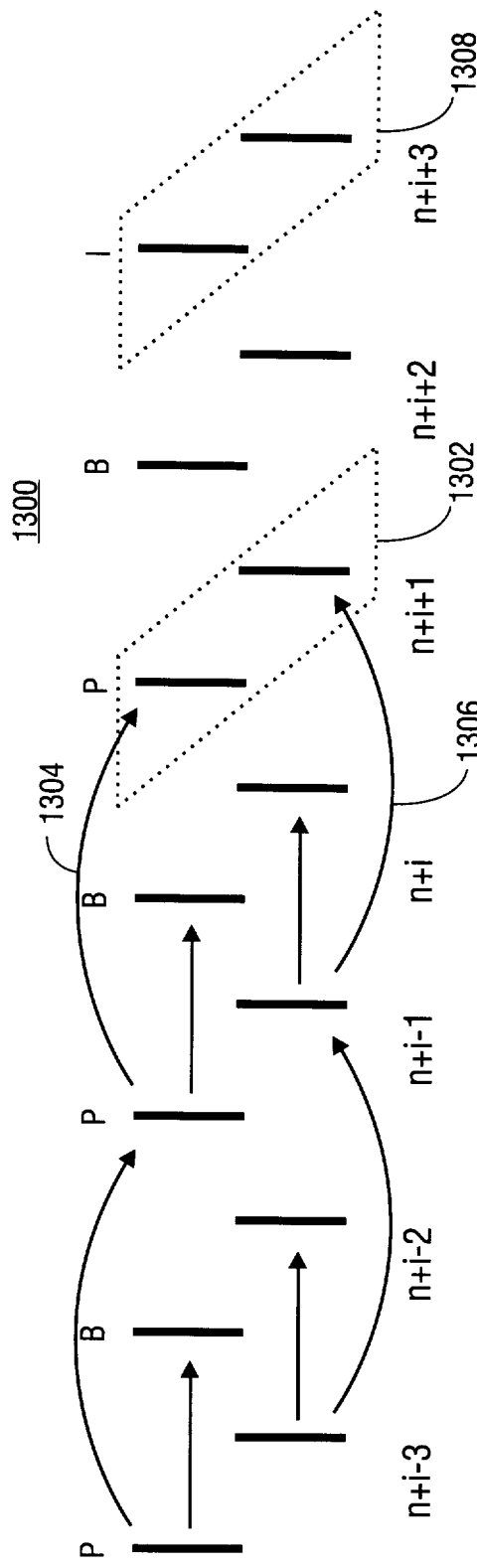


FIG. 13

1400
1430
1428
1432
1420
1418
1402
1422
1404
1426
1410
1416
n+3
n+2
n+1
n
1424

FIG. 14

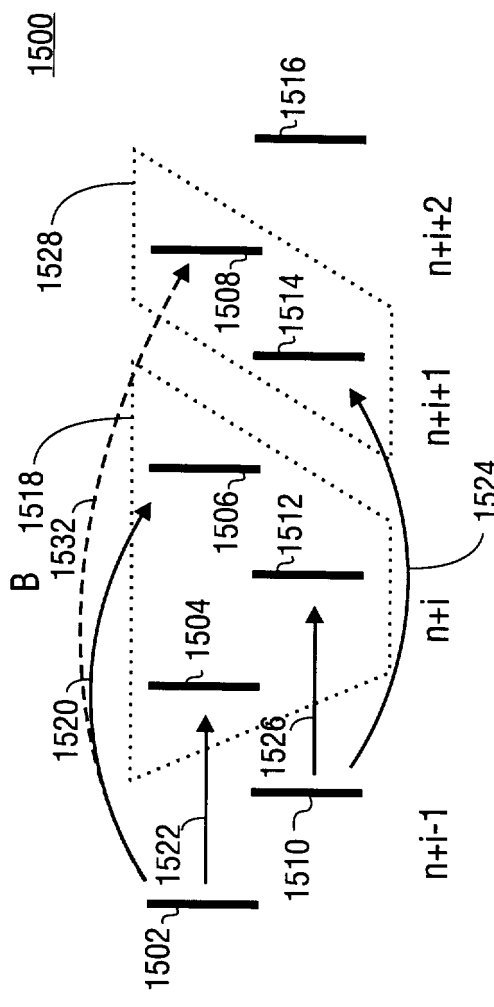
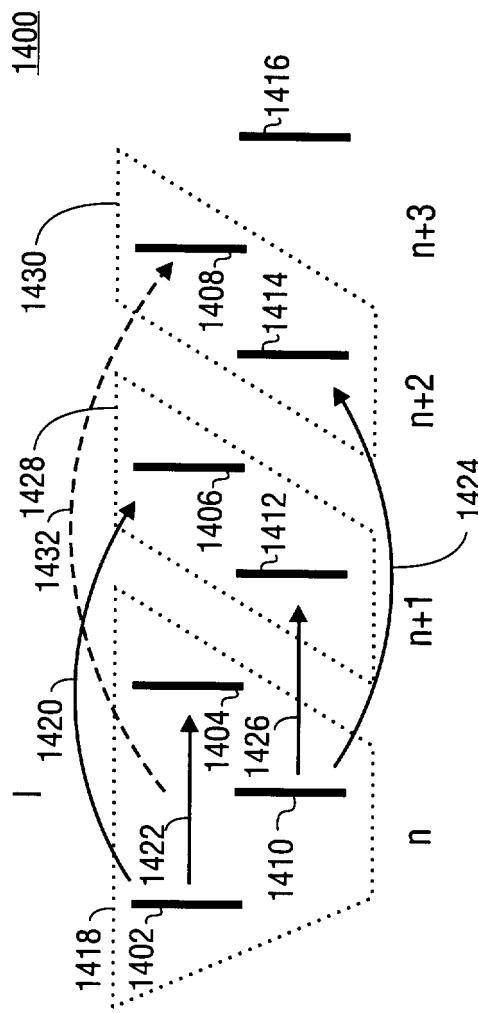


FIG. 15

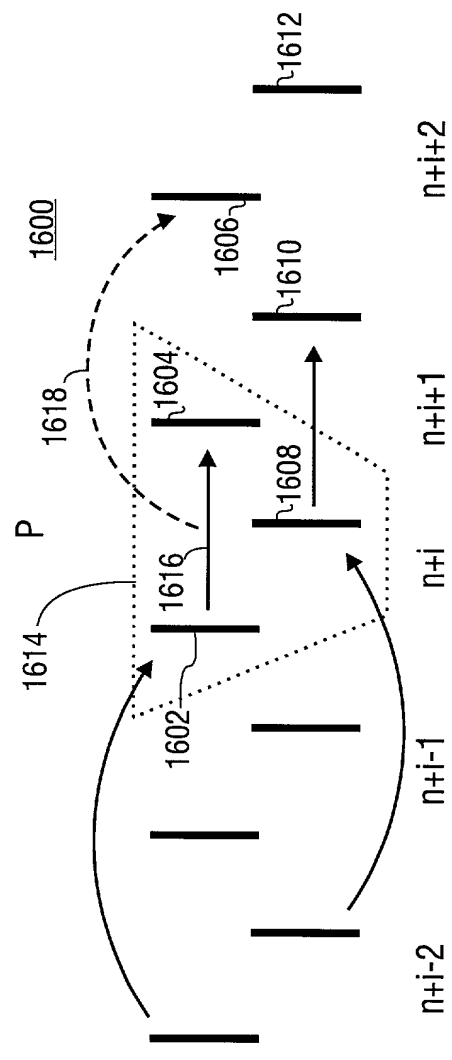
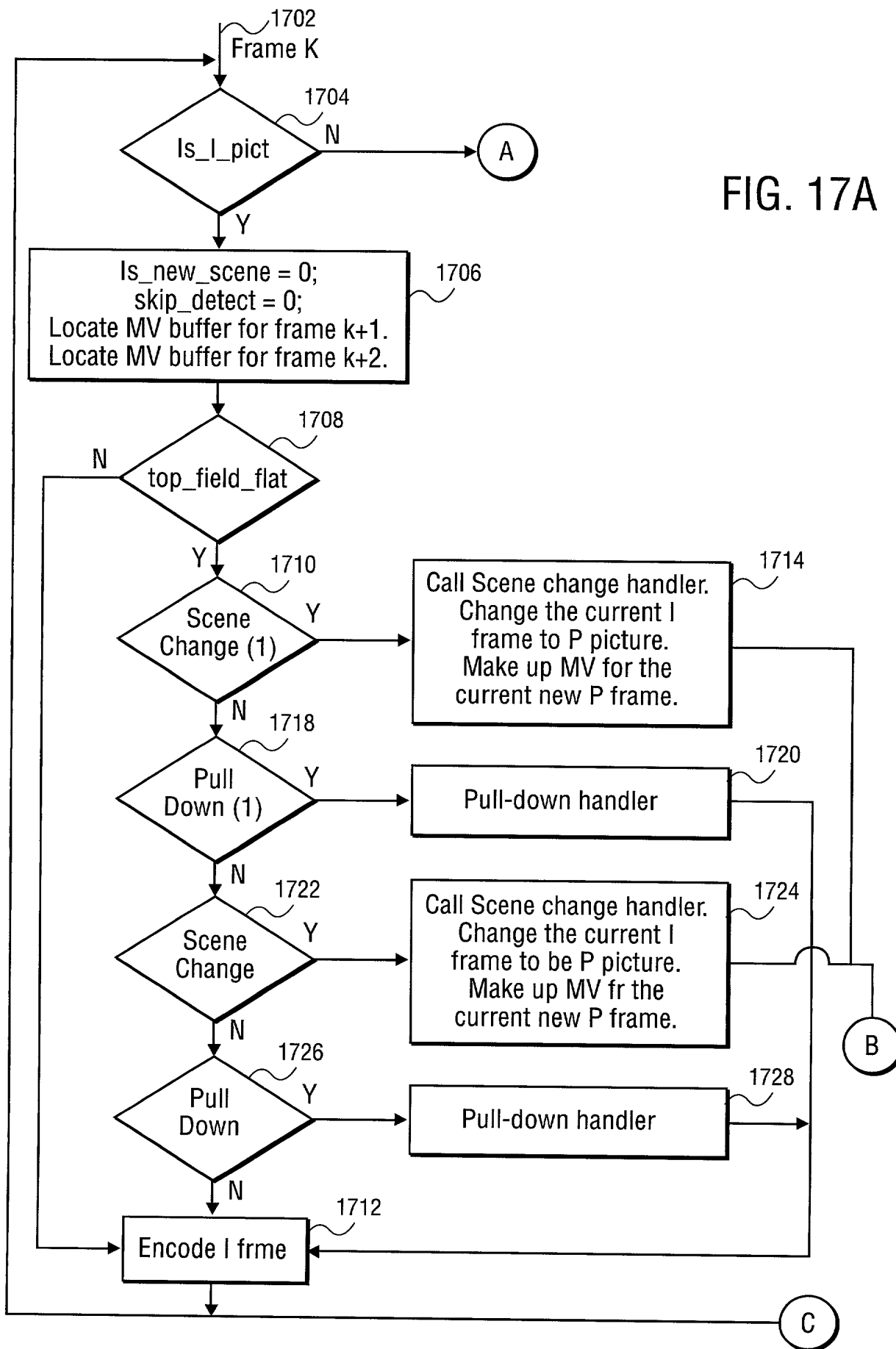


FIG. 16

FIG. 17A



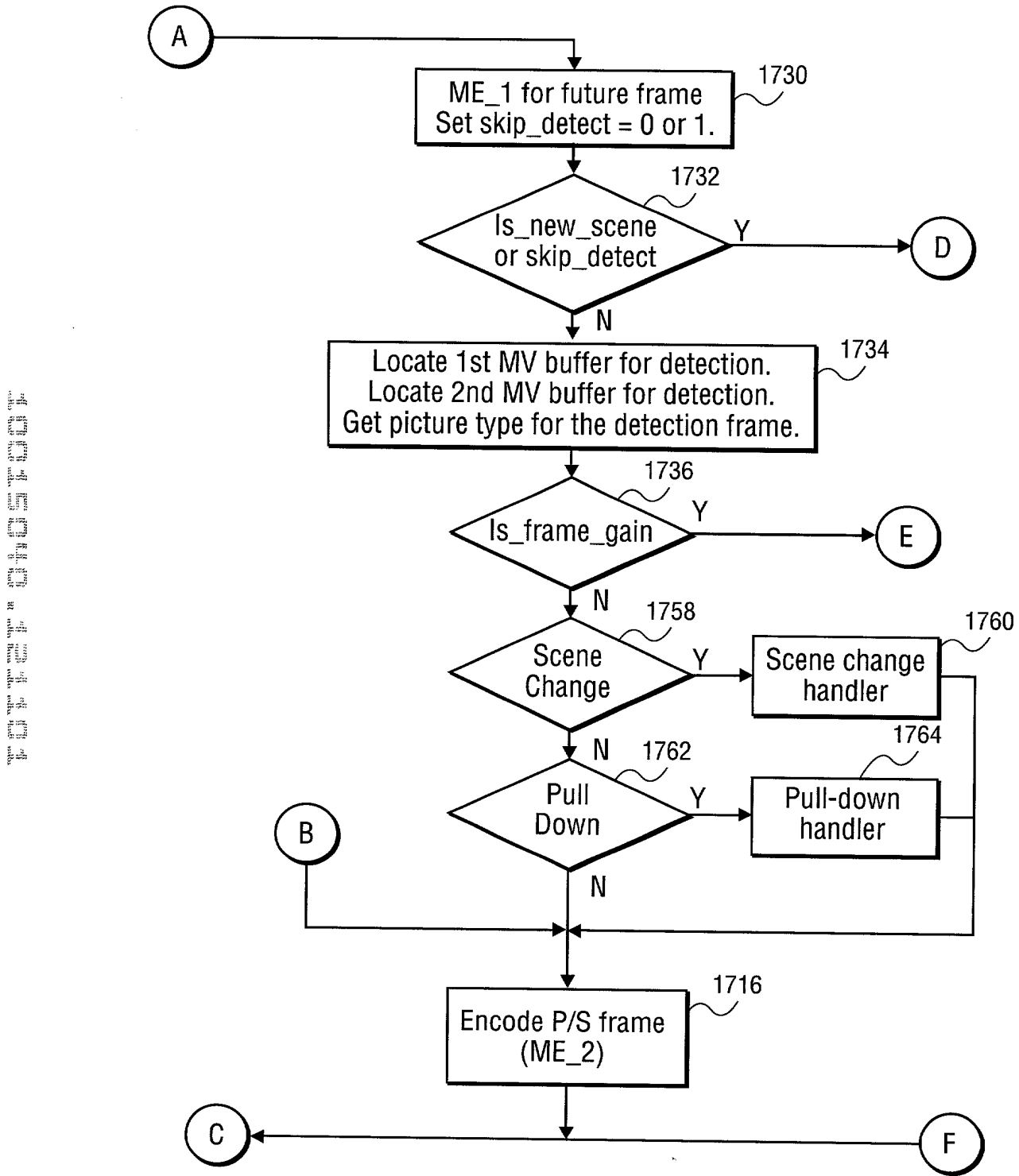


FIG. 17B

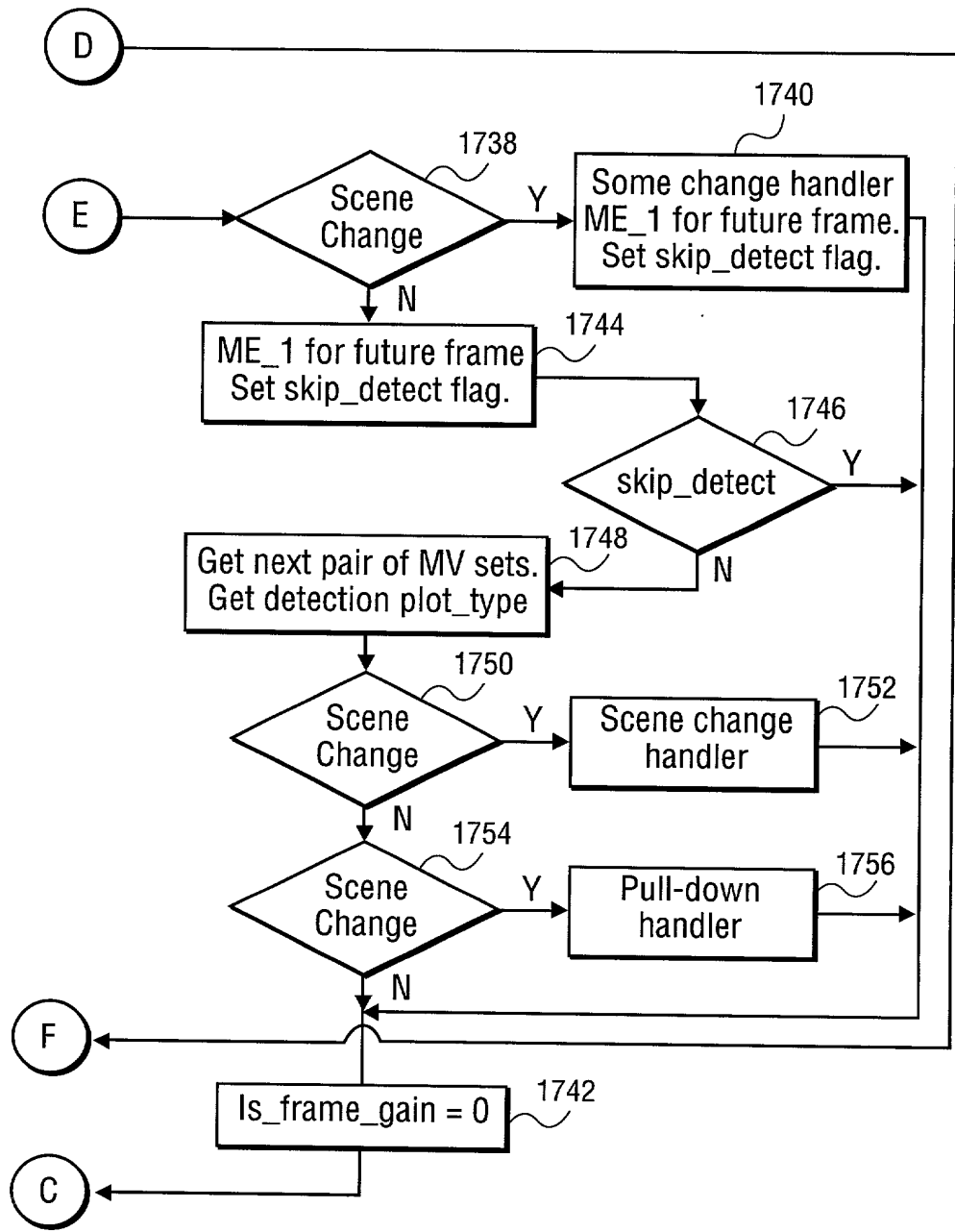


FIG. 17C

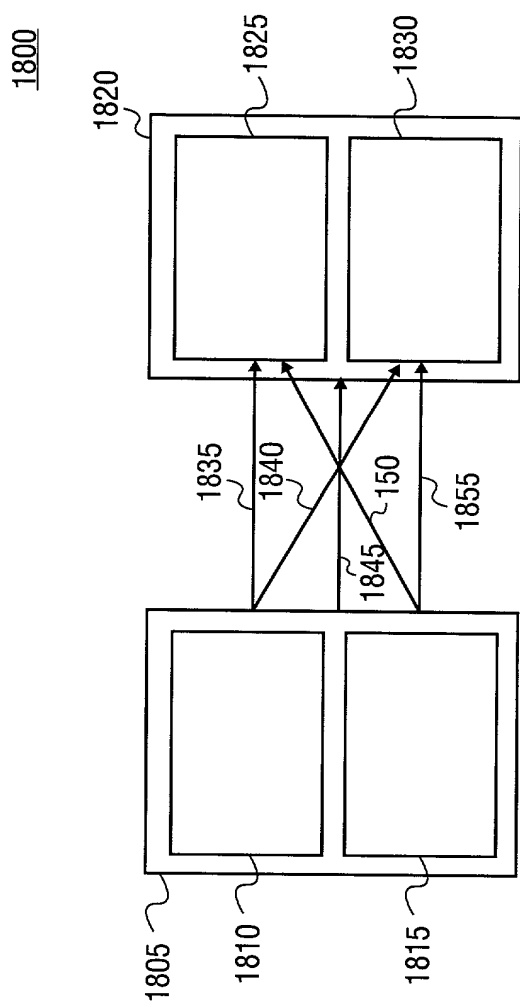


FIG. 18A

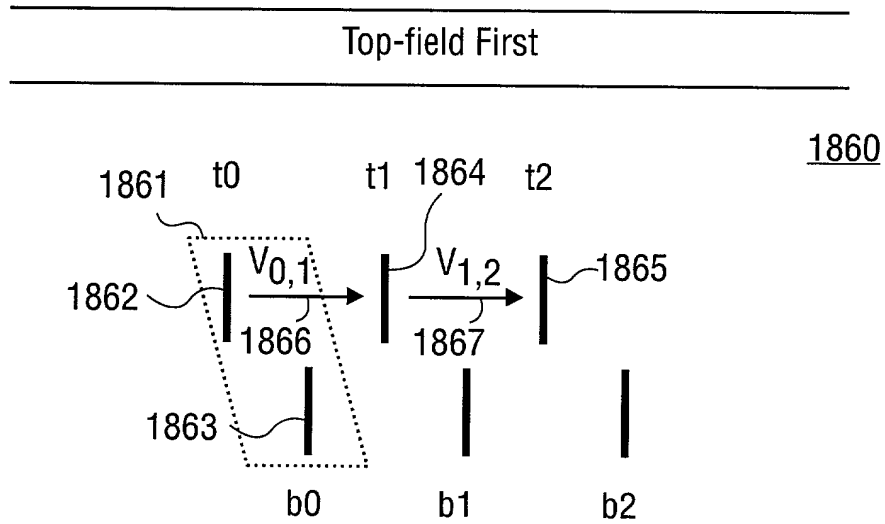


FIG. 18B

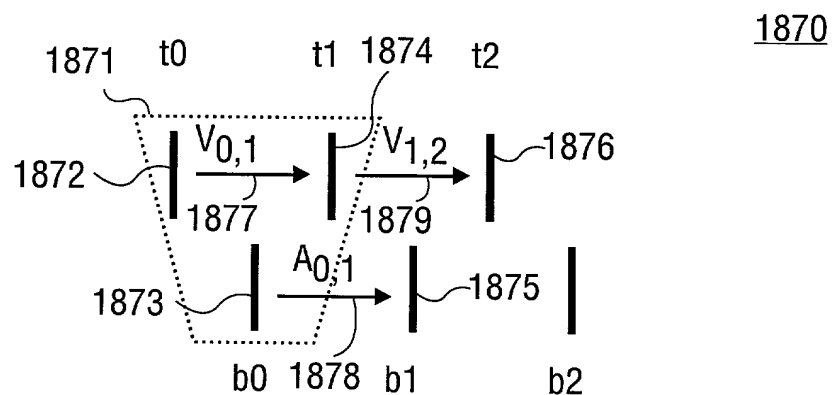


FIG. 18C

Bottom-field First

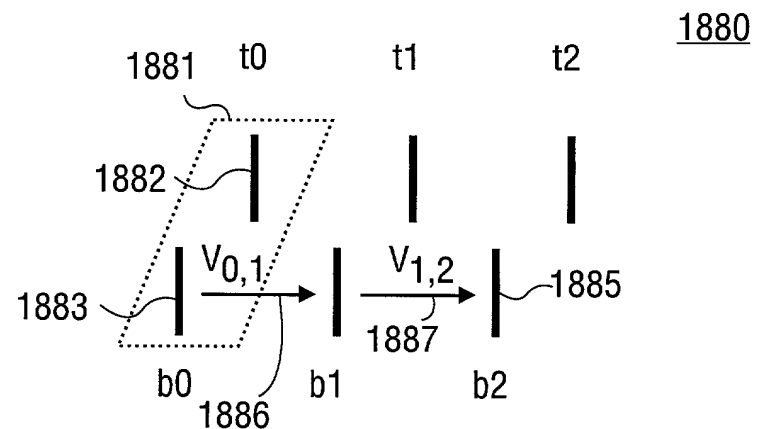


FIG. 18D

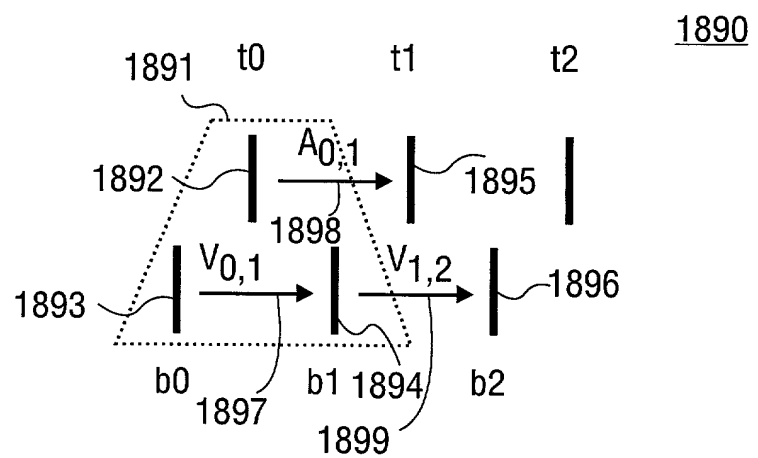


FIG. 18E

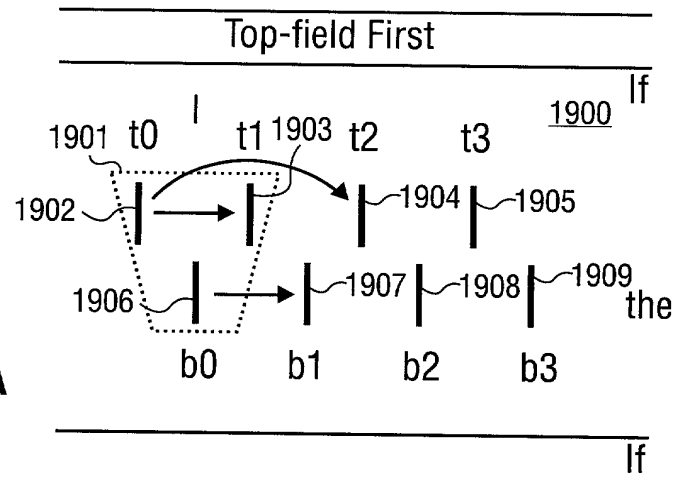


FIG. 19A

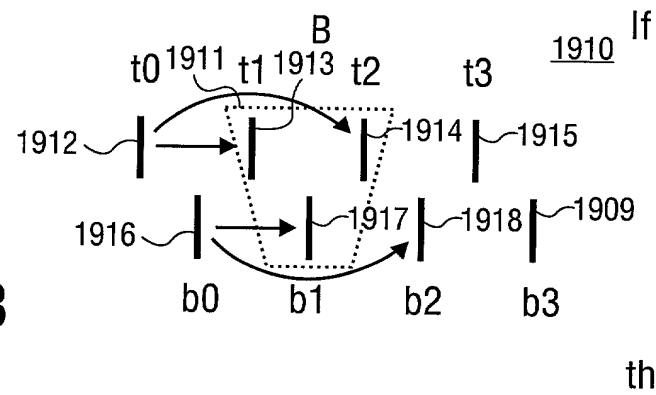


FIG. 19B

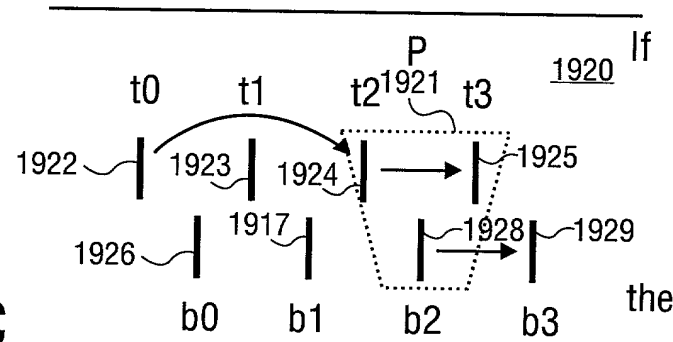


FIG. 19C

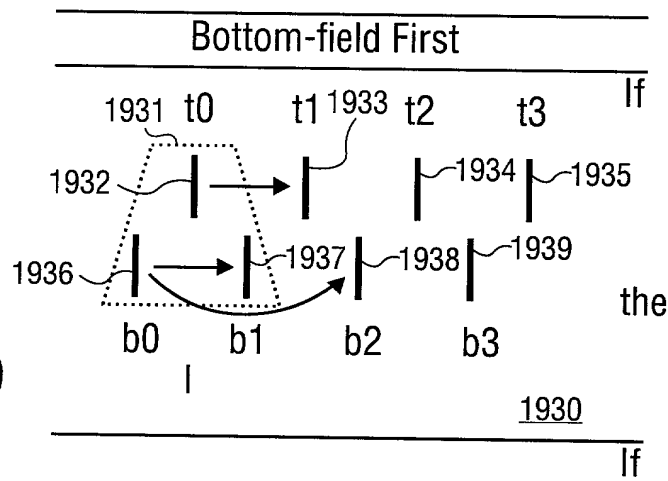


FIG. 19D

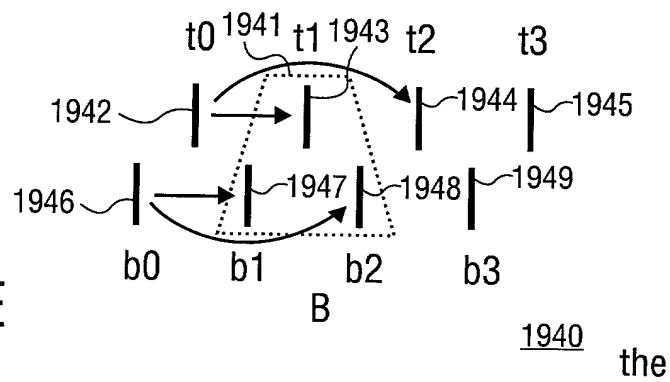


FIG. 19E

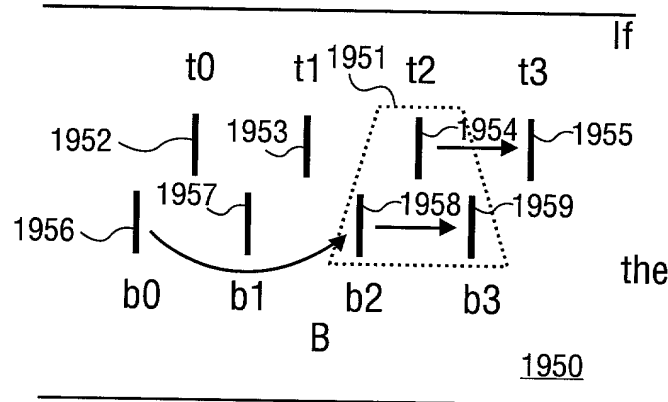
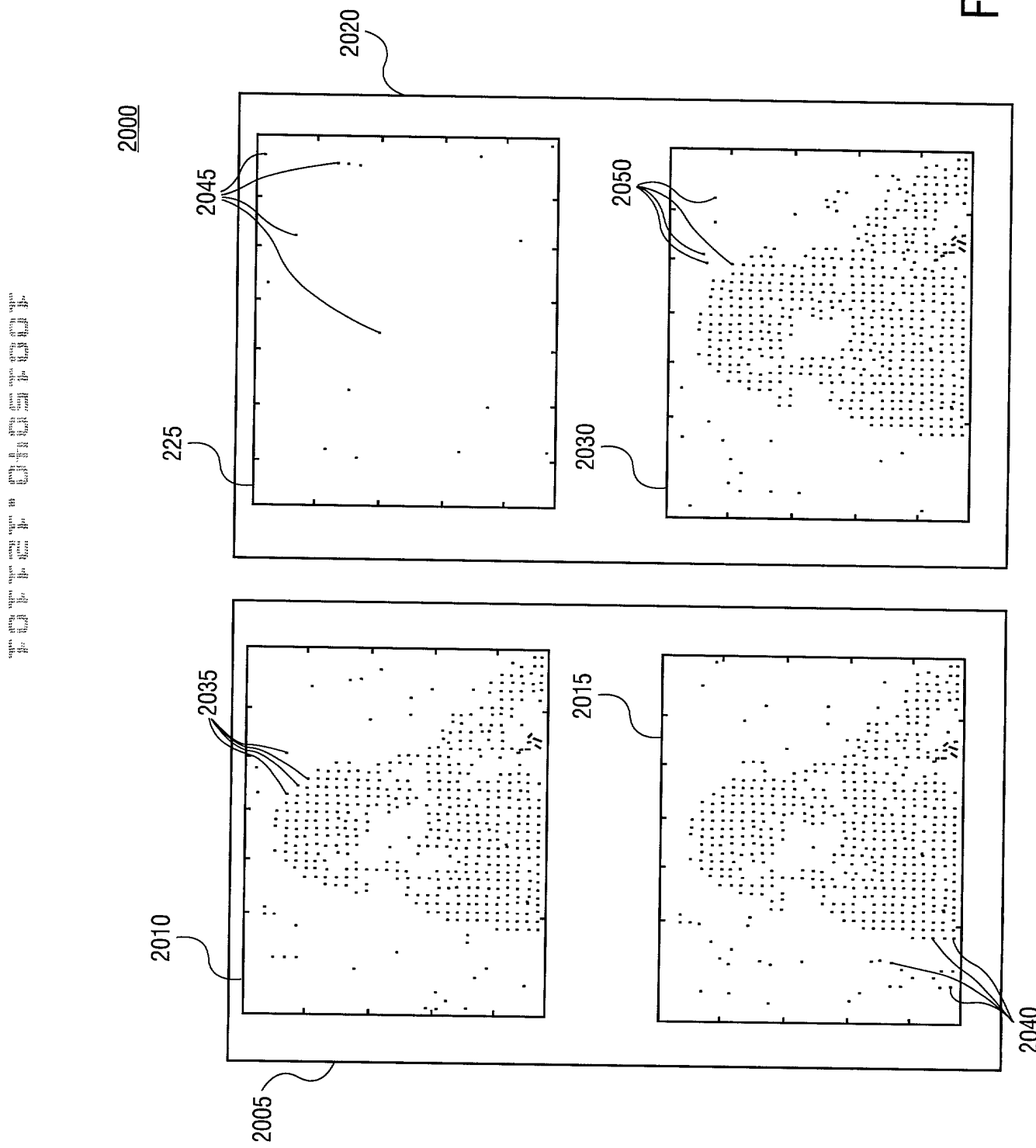


FIG. 19F

FIG. 20



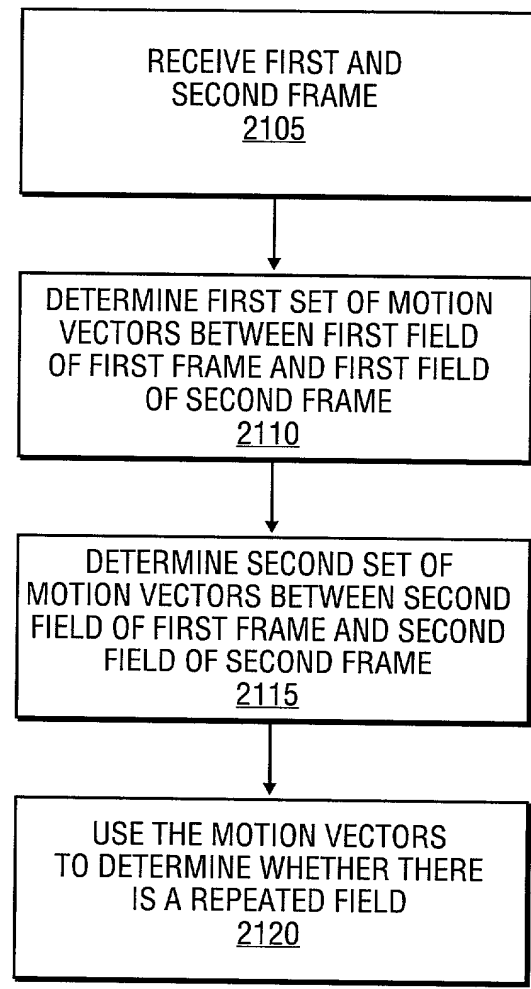


FIG. 21

Bottom-field First

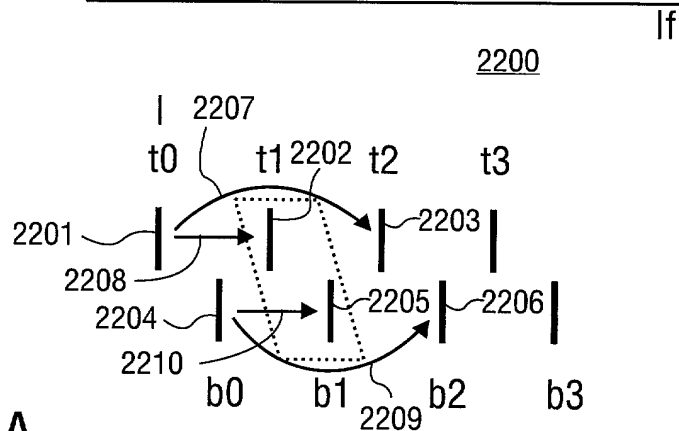


FIG. 22A

the

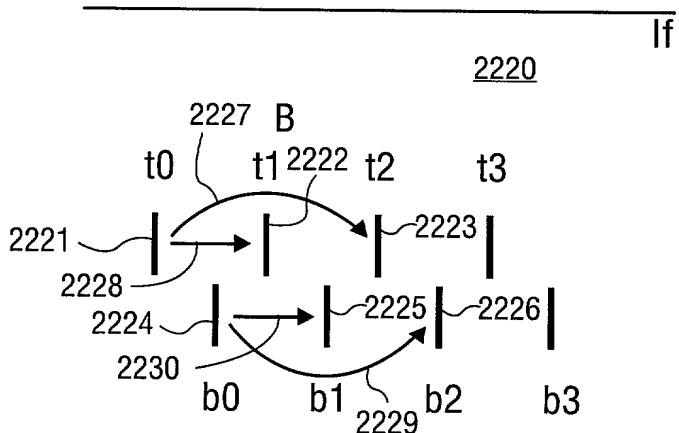


FIG. 22B

the

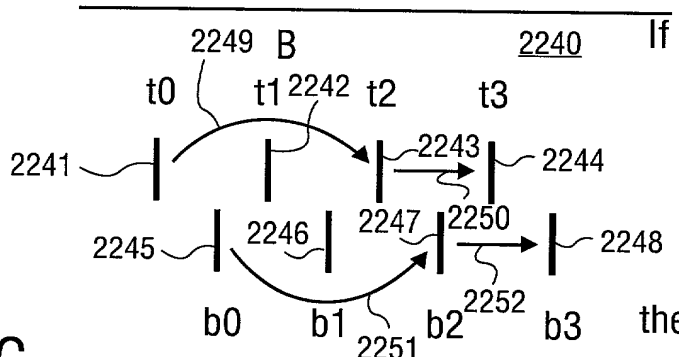


FIG. 22C

the

2260

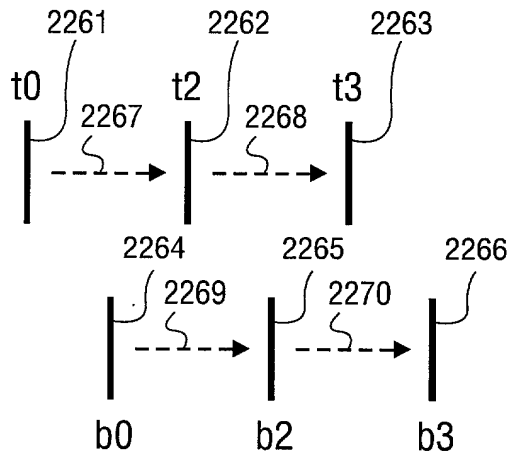


FIG. 22D

2280

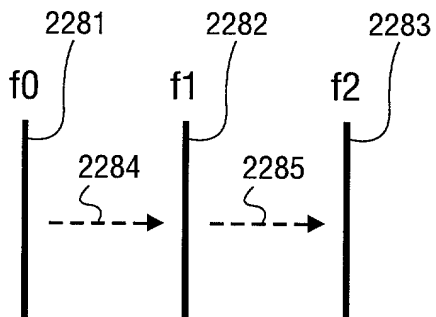
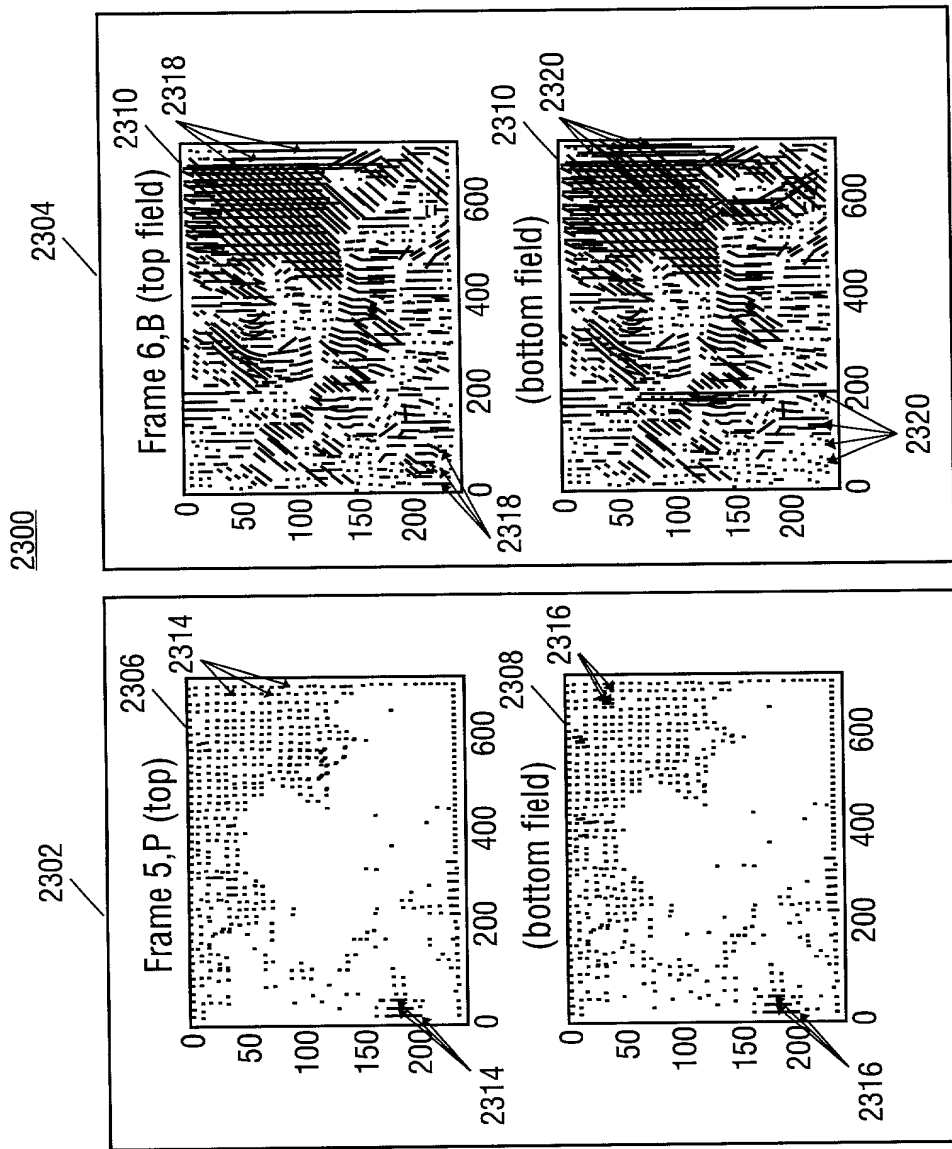


FIG. 22E

FIG. 23



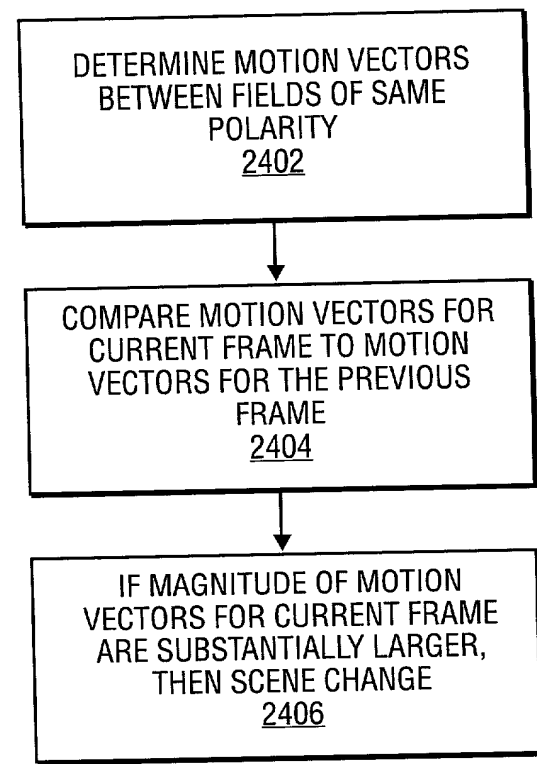


FIG. 24